

アーク状放電の移行電圧に対する
2 種類の高周波電界の重畠効果と放電形態

長 濱 治 男

Superposed effects and discharge states of kinds
of R.F fields on the arc-like discharge transition voltage

Haruo NAGAHAMA

Effects of superposing two applied fields with different frequencies on transition voltage V_c from glow-like to arc-like R.F discharge have been studied by using H₂ gas and already been reported.

This time above mentioned V_c have been studied by using the inert gas, that is, Ne, He and Ar. Furthermore, light intensities emitted from R.F discharges have been observed. As a result, it is found that brightness of lower frequency discharge space has increased extremely by adding a small amount of upper frequency discharge space.

1. まえがき

円筒状の放電管に高周波発振器の高周波コイルを巻き、方位(θ)方向に $E_1 \theta$ 、管軸(z)方向に $B_1 z$ の高周波電磁界を加える誘導結合型高周波放電は無電極放電が可能になる。この高周波無電極放電で生成されるプラズマは、近年薄膜の形成や表面改質などを行うプラズマプロセッシングの新しい分野に応用されている。しかし、応用技術が先行し、放電機構などのプラズマの基礎的性質の未解明の部分が多く残されている¹⁾。

筆者は従来から誘導結合型高周波放電で生成されるグロー状放電、アーク状放電の放電特性およびグロー状からアーク状放電への移行機構の研究を行ってきた^{2)~4)}。また、高電離状態の高周波放電プラズマを生成する目的のため、周波数の異なる 2 種類の高周波電圧を同時に重畠した場合、アーク状放電移行電圧 V_c が単独放電の場合と比べてどう変わるかを H₂ ガスを用いて調べてきた^{5), 6)}。

今回は、試料ガスとして He, Ne, Ar の不活性ガスを用いて 2 種類の高周波電圧を同時に重畠した時の V_c の値を測定するとともに、放電の発光状態を詳しく観察した。この結果、重畠する周波数の大きさにより V_c に対する重畠効果に違いが生じ、この違いは放電の発光状態から定性的によく説明できること、また V_c 低下の現象はガスの種類に無関係であり、重畠する周波数の大小に關係することがわかったので、これらのことについて報告する。

2. 実験装置および実験方法

図1は実験に用いた放電管および1MHz, 13.5MHz発振器の略図である。放電管は内径が $30\text{mm}\phi$, 長さ80cmの石英ガラス管で、その両端はOリングで真空止めできる金属アダプターに接合されている。1MHzコイルは10巻き, 13.5MHzコイルは8巻きである。両方の高周波放電が放電管の同じ位置で発生することが望ましいが、両コイルを重ねて巻くことは実験上難しいので、図のように隣り合わせて巻いてある。複探針は電子温度、電子密度などの測定に用いる。単探針はイオン電流を測定する時に用いる。この時の基準電位は金属アダプターをアースして用いる。探針の材質はタングステン線で長さ2mm, 直径 $0.5\text{mm}\phi$ である。単探針、複探針とも放電管壁から管軸まで半径方向に可変できる。

実験を行う前に油拡散真空ポンプで放電管全体を 10^{-5}Torr 程度に排気した後、試料ガスとして用いる不活性ガス(純度99.999%のHe, Ne, Ar)を実験ごとに所定のガス圧に封入する。そして、1MHzに13.5MHzを重畠する場合は、どのガス圧でも重畠する13.5MHzの高周波発振器の出力電力(放電管への入射電力 $P_{13.5}$)が一定になるように出力調整して保ち、この状態で1MHz高周波電圧を上昇してゆき1MHzのアーク状放電が発生する移行電圧 V_c を各ガス圧ごとに測定する。 V_c の測定は、1MHzコイル両端電圧を高周波用高圧分圧器(入出力比, 200:1)で分圧した後、シンクロスコープでアーク状放電が発生した時の振幅の大きさ、すなわち瞬時電圧を測定している。

放電の発光状態を観察する場合は、ガス圧を一定および1MHz単独放電ではアーク状放電が発生しない程度の一定電圧に調整し、重畠する13.5MHzの入射電力 $P_{13.5}$ を0から上昇してゆきながら、放電の発光状態の変化を放電管軸の真上から写真撮影する。

13.5MHzに1MHzを重畠する場合には、先の順序を逆にして重畠する1MHzのコイル端子電圧を一定にして先に印加し、次に13.5MHzの入射電力を徐々に加えてゆき、13.5MHzコイル側でアーク状放電が発生する移行電力 P_c を測定する。 P_c の測定は、通過形電力計の入射電力の検波波形でアーク状放電の発生をシンクロスコープで観察し、アーク状放電発生時の入射電力の瞬時値を入射電力計から測定している。放電状態の写真撮影は先の説明と周波数の順序を逆にして行う。

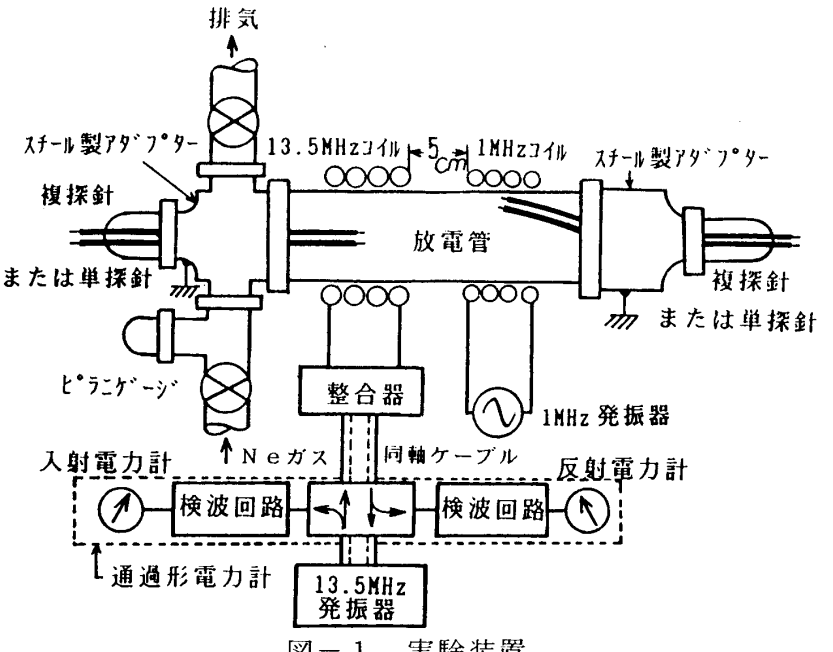


図-1 実験装置

3. 実験結果

3.1 1MHzに13.5MHzを重畠した場合の V_c の変化

ガス圧 p を一定にし、まず通過形電力計で測定した13.5MHzの電力をある一定値だけ印加する。

次に、1MHzコイル端子電圧を徐々に上昇してゆき、1MHzコイル直下に挿入した探針で測定したイオン電流が急増する時のコイル端子電圧 V_c 測定する。重複する13.5MHzの電力を順次変化させ、これをパラメータとして1MHz側の V_c を測定し、さらにガス圧および試料ガスを変えて行うと図2～図4が得られる。図2、3、4はそれぞれ試料ガスがNe、He、Arガスでの V_c の測定結果である。いずれの図も、1MHz単独放電の場合の V_c の最小値 V_{cs} で規格化し、縦軸として V_c/V_{cs} をとっている。いずれの図からも明らかのように、1MHz側の V_c は最小点 V_{cs} より低いガス圧領域で低下し、13.5MHzの重複効果が著しく現われている。しかし、最小点よりもガス圧の高い領域では

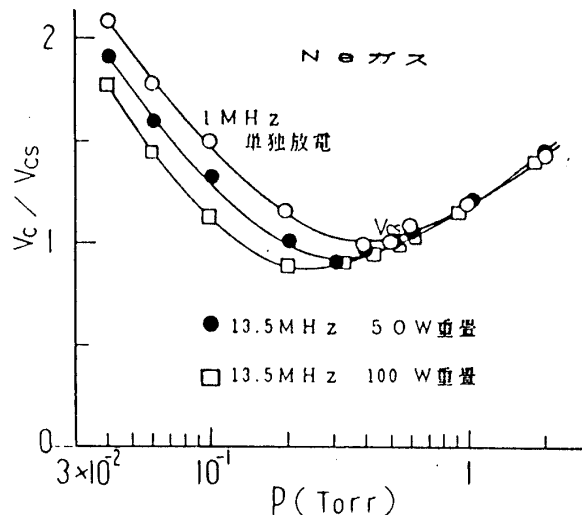


図-2 13.5MHzの重複による1MHz側
 V_c の低下(Neガス)

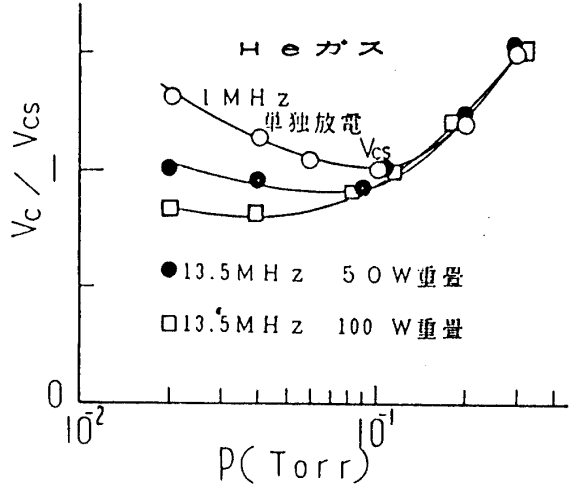


図-3 13.5MHzの重複による1MHz側
 V_c の低下(Heガス)

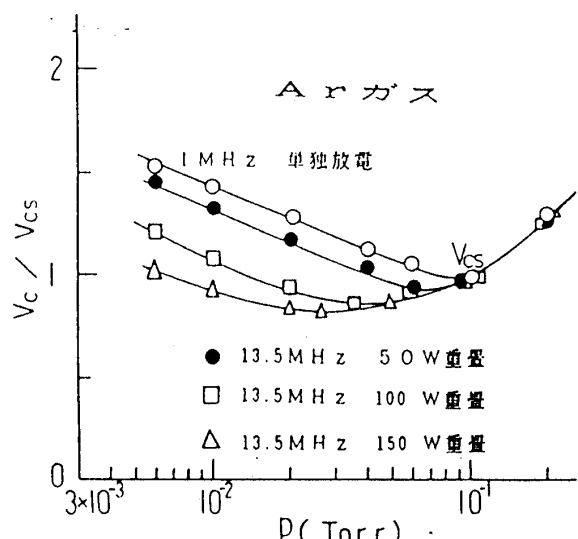


図-4 13.5MHzの重複による1MHz側
 V_c の低下(Arガス)

ほとんど V_c は低下せず、13.5MHzの影響はない。また、 V_c の最小点 V_{cs} のガス圧はNeガスが高く、HeとArガスが低い。

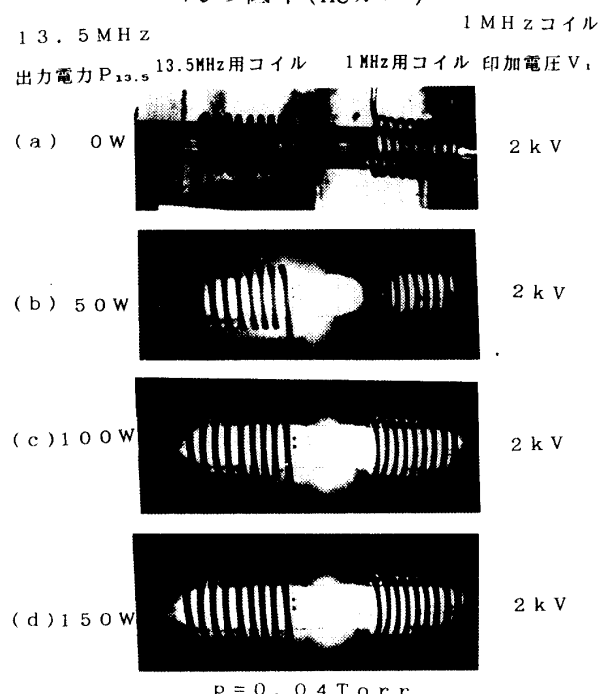


図-5 13.5MHz重複時の1MHz側
放電の発光状態の変化
(Neガス, $p=0.04$ Torr)

3.2 1 MHzに13.5MHzを重畠した場合の放電状態の変化

図5はNeガス、ガス圧 $p = 0.04\text{Torr}$ とし、1 MHzコイルの印加電圧 V_1 を2 kV一定に保ち、重畠する13.5MHz高周波電力 $P_{13.5}$ を0から150Wまで変化させた場合の、重畠する側の放電領域の伸び具合と1 MHz側の発光状態の変化を見たものである。(a)図は1 MHz単独放電で、ほとんど発光がなく極めて弱いグロー状放電の場合である。 $P_{13.5}$ を50W重畠する((b)図)と、13.5MHzコイルの中央付近から1 MHzコイルの左端にかけて強い発光が見られる。 $P_{13.5}$ を100W重畠する((c)図)と、強い発光領域は1 MHzコイル全体にまで伸びてゆき、1 MHzコイル側でも強い発光の放電を発生させている。このことは、1 MHz側で著しい重畠効果が現われていることを示しており、図2の低ガス圧領域で V_c が低下することと一致している。 $P_{13.5}$ を150Wにする((d)図)と、1 MHz側の発光はかえって少し弱まっている。 $P_{13.5}$ をこれ以上増加しても傾向は同じである。

図6は、図2で V_c が低下せず重畠効果のないガス圧から $p = 0.8\text{Torr}$ を選び出し、図5と同様にNeガスを用い V_1 を一定にし、 $P_{13.5}$ を変化させた場合の発光の状態を見たものである。この場合には、13.5MHz側の発光強度は重畠する $P_{13.5}$ の増加とともに少しずつ強くなり、かつ強い発光の放電領域は1 MHz側へ伸びているが、それにもかかわらず1 MHz側の発光は図5のように強くならず、ほとんど一定である。それゆえ、図2で V_c が低下せず重畠効果のない結果と同じ傾向である。

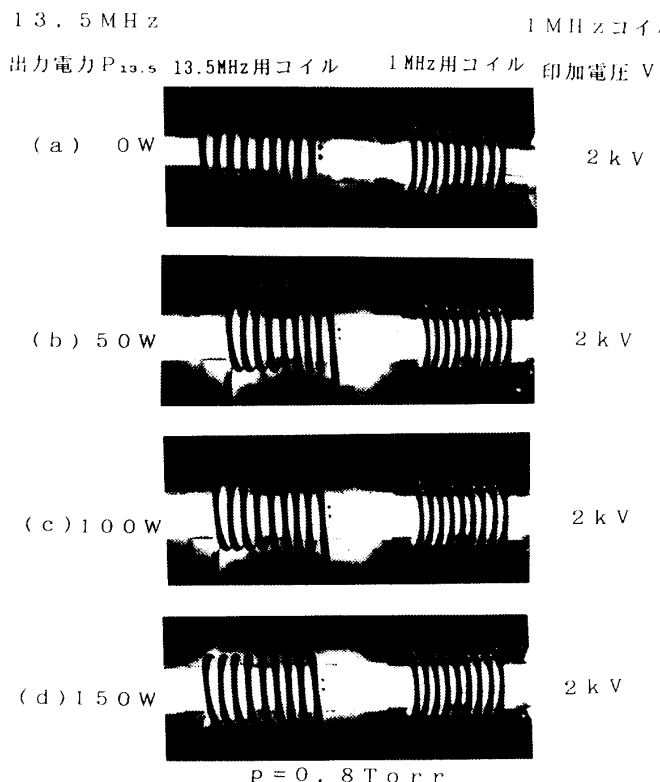


図-6 13.5MHz重畠時の1 MHz側放電
の発光状態の変化
(Neガス, $p=0.8\text{Torr}$)

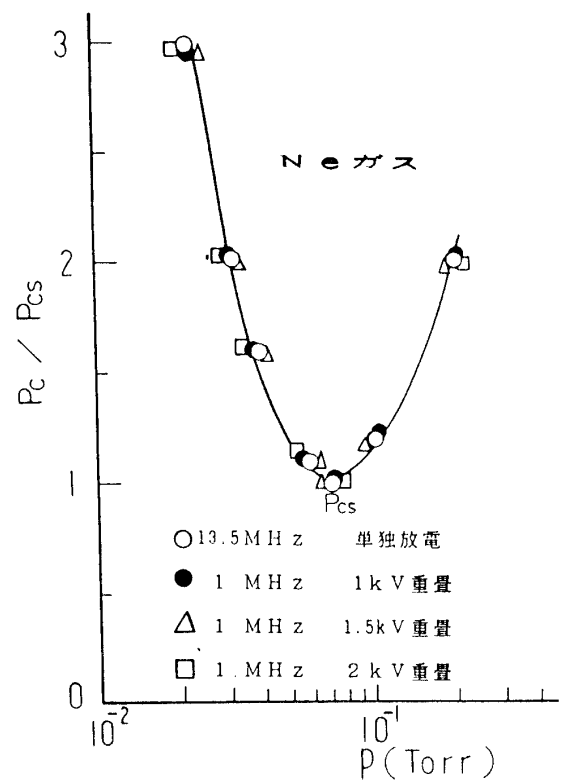


図-7 1 MHzの重畠による13.5MHz側
 P_c の低下 (Neガス)

3.3 13.5MHzに1MHzを重畠した場合の P_c の変化

3.1節で述べた周波数の順序を入れ替えて、重畠する1MHzのコイル端子電圧を一定にして先に印加し、次に13.5MHzの電力 $P_{13.5}$ を徐々に上昇してゆき、13.5MHzコイル直下に挿入した探針で測定したイオン電流と13.5MHz側のアーク状放電移行電力 P_c （アーク状放電が発生した時の $P_{13.5}$ の値）をNe, He, Arガスで測定した結果が図7, 8, 9である。いずれの図も縦軸は P_c の最小値 P_{cs} で規格化し、 P_c/P_{cs} で目盛ってある。この場合には、いずれの図からも明らかのように、13.5MHz側の P_c はすべてのガス圧領域で低下せず、重畠効果のないことがわかる。 V_c の最小点 V_{cs} のガス圧はNe, He, Arガスの順に低いガス圧側へ移動している。

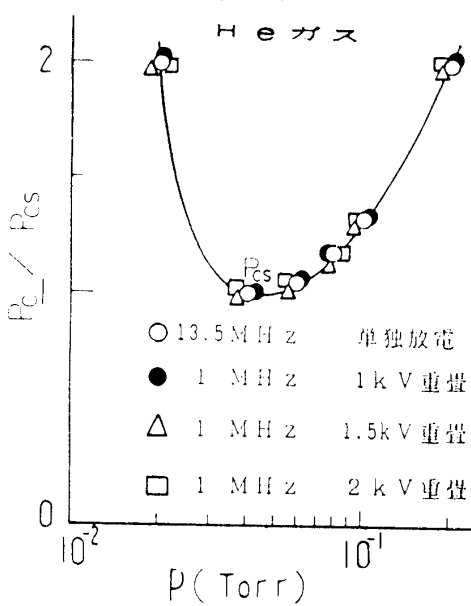


図-8 1MHzの重畠による13.5MHz側
 P_c の低下 (Heガス)

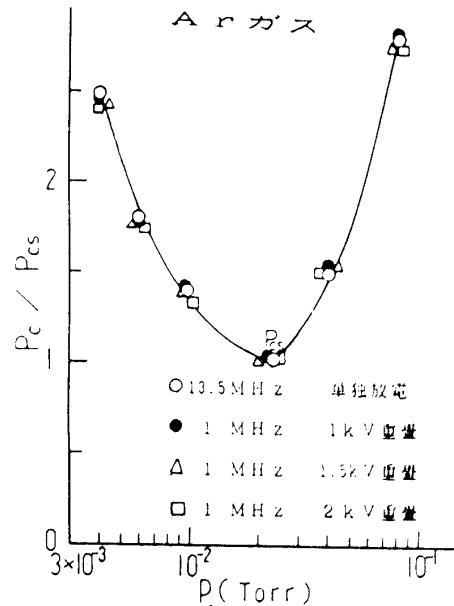


図-9 1MHzの重畠による13.5MHz側
 P_c の低下 (Arガス)

3.4 13.5MHzに1MHzを重畠した場合
の放電状態の変化

図10はNeガス、ガス圧 $p = 0.02$ Torrにおいて、 $P_{13.5}$ を80W一定に保ち、重畠する1MHzのコイル端子電圧を0から2.5kVまで変化させた場合の放電状態の変化を見たものである。(a)図は13.5MHz単独放電の場合で、13.5MHz側で強い発光の放電が生じている。1MHzのコイル端子電圧 V_1 を1kV印加する((b))図と、1MHz側で強い発光の放電が生じる。しかし、13.5MHz側の発光の強さは強いままで変化はない。

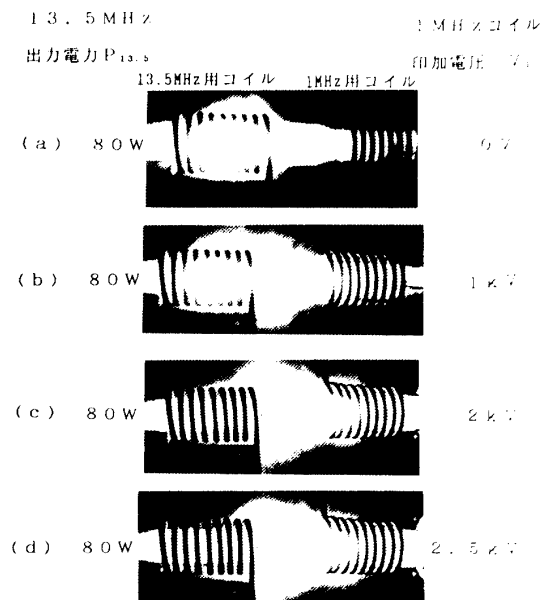


図-10 1MHz重畠時の13.5MHz側放電の発光状態の変化 (Ne, $p=0.02$ Torr)

さらに V_1 を2.5kVまで重畠してゆくと、1MHz側の発光は少しずつ強くなっている。しかし、13.5MHz側の発光の強さはほとんど変わらない((a)～(c)図)。しかし、 V_1 が2.5kVに増加すると、13.5MHz側の発光はかえって少し強くなる((d)図)。このことは、図7で13.5MHz側の P_c がほとんど低下せず、重畠効果がないことと一致している。

4. 重畠効果についてのまとめ

1MHzおよび13.5MHzの2種類の周波数の高周波電圧を重畠して印加した場合の V_c 、 P_c の測定結果および放電形態の観察結果をまとめると、

- (1)低い周波数に高い周波数を重畠した場合の低ガス圧領域では、重畠する電力の増加とともに低い周波数側の発光が極めて強くなり、著しい重畠効果が現われ、 V_c が低下する(図2、3、4、5)。
- (2)しかし、上記(1)の高いガス圧領域では、重畠する電力の増加とともに強い発光の放電が低い周波数側に伸びていっているにもかかわらず、低い周波数側の放電はほとんど変わらず、重畠効果は現われないので、 V_c はほとんど変化しない(図2、3、4、6)。
- (3)高い周波数に低い周波数を重畠した場合、重畠する低い周波数のコイル端子電圧を増加しても高い周波数側の放電の発光の強さは余り変わらず、この場合ガス圧のすべての領域で重畠効果が現われず、従って P_c は変化しない(図7、8、9、10)。
- (4)重畠する電力(または電圧)が大きくなりすぎると、放電はかえって抑制される傾向にある(図5(d)の1MHz側、図10(d)の13.5MHz側)。

5. 結 言

高電離状態の高周波放電プラズマを生成する研究目的のため、1MHzと13.5MHzの2種類の高周波電圧を同時に印加して重畠した場合の、高周波放電の放電形態および移行電圧 V_c (または P_c)に対する2種類の高周波電圧の重畠効果について、Ne、He、Arの不活性ガスを用いて実験を行った。この結果、従来からの試料ガスのH₂ガスの実験結果と同様に、

- (1)1MHzに13.5MHzを重畠した場合の低ガス圧領域で、 V_c が低下し、著しい重畠効果があった。
- (2)1MHzに13.5MHzを重畠した場合の高ガス圧領域および13.5MHzに1MHzを重畠した場合のすべてのガス圧領域で、 V_c および P_c は低下せず、重畠効果はなかった。
- (3)重畠効果の現われ方は、活性、不活性というガスの化学的性質には無関係であり、周波数の大小に關係する。

以上の重畠効果の現象を放電形態の観察から定性的に説明できた。

終わりに、終始有益なご助言、ご指導を頂きました関西大学工学部電子工学科高元暉夫博士に感謝の意を表わします。

参考文献

- 1) 堤井信力 : プラズマ基礎工学(内田老鶴編, 1986), p. 239
- 2) 高元, 向山, 長浜: 電気学会誌 91(1971), p. 753
- 3) 福村, 長浜, 高元: 電気学会論文誌 A 97(1977), p. 243
- 4) 長浜, 福村, 高元: 電気学会論文誌 A 103(1982), p. 265
- 5) 長浜, 福村, 高元: 電気学会論文誌 A 105(1985), p. 381
- 6) 長浜, 福村, 高元: 電気学会論文誌 A 108(1988), p. 51